

## 異方圧密粘土における時間効果の表現

○ 福井大学工学部 正会員 荒井 寛彦  
東大阪市  
羽柴 章司  
石黒建設(株)  
北川 賢一

1. まえがき：土のような粒状体において、一意的有効応力ひずみ関係式が存在するかどうかは現時まで明確ではない。著者は先に、応力ひずみ関係式を規定せずに、飽和粘土の応力変形挙動を表現する一つの方法を提案した<sup>1)</sup>。基本的仮定は、粘土の応力やひずみが、つまり合一条件や連続条件などの種々の制約条件を満足したうえで、全体の消散エネルギーを最小にするようK挙動することである。この方法と、ダイレイタンシーの時間依存性に関する簡単な仮定を用いることにより、飽和等方正規圧密粘土の非排水三軸圧縮試験を対象として、定ひずみ速度試験、応力緩和試験、クリープ試験における時間効果を、ほぼ統一的に表現できることを示した。<sup>2)</sup>本報では、飽和異方(K<sub>0</sub>)正規圧密粘土の三軸圧縮試験に対して、この方法を適用した結果を報告する。実験に用いた試料は、先の報告<sup>1), 2)</sup>と同じく、陶器用福井県鶴来粘土を練り返したものである( $G_s = 2.67$ ,  $w_L = 53.2\%$ ,  $w_p = 25.8\%$ , 粘土分 60%, シルト分 36.3%, 砂分 3.3%)。

2. 定式化：(1) 供試体の離散化：図-1に示すように、FEM 変位法と同じ要領で三軸試験供試体を軸対称要素に分割する。節点変位、要素有効応力、要素間隙水圧をそれぞれ独立した未知変数として扱う。(2) 時間効果の表現：ダイレイタンシー体積ひずみスリーブ

$\Delta V_d^n$  のみが時間依存性と仮定し、次式で表す。<sup>2)</sup>

$$\Delta V_d^n = (D \cdot g^n / \sigma_m^n - V_d^{n-1}) \ln \Delta t^n / \ln T : \text{応力比が増加する場合} \quad (1)$$

$$= (D \cdot g^n / \sigma_m^n - V_d^{n-1}) \ln \Delta t^n / (\ln T - \ln t_i^n) : \text{応力比が減少する場合} \quad (2)$$

D: ダイレイタンシー係数,  $g^n = (3/2 \cdot s_{ij}^n s_{ij}^n)^{1/2}$ ,  $s_{ij}$ : 偏差応力,  $\sigma_m^n$ : 平均有効主応力,  $\Delta t^n$ : 時間ステップ幅, T: ダイレイタンシーが完全に生じるまでに要する時間,  $t_i^n$ : 応力比の増加が止った時刻からの経過時間, 応力比 =  $g^n / \sigma_m^n$ , n: 時間ステップ。式(1), (2)が差分形のため  $\Delta t^n$  を、あまり小さくしてはいけない。図-2に示すように、せん断初期にダイレイタンシーが生じる現象を十分に表現できていない。そこで、式(1)が従って生じるのはその体積ひずみが、ある値  $V_d^*$  を越すとダイレイタンシーが生じると仮定する。等方圧密土の場合、間隙水圧の発生が顕著K<sub>0</sub>の図-3 A実を、K<sub>0</sub>圧密土では、図-6, 7 A実を図-2のA'実と見えて  $V_d^*$  を求めた結果を図-4に示す。

K<sub>0</sub>圧密上では、図-6 A実より少し前でダイレイタンシーが生じ始めるとようであつて、このことが等方圧密土に比べて  $V_d^*$  をやや過大に評価するようである。この実験では、K<sub>0</sub>圧密中に生じるダイレイタンシー量の推定と併せて更に検討する必要がある。3) 定式化：

次の制約条件を満たしたうえで、塑性仕事増分を最小にする変位、有

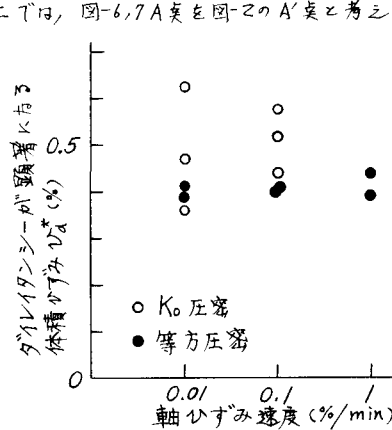


図-4 ダイレイタンシーが生じ始める体積ひずみ

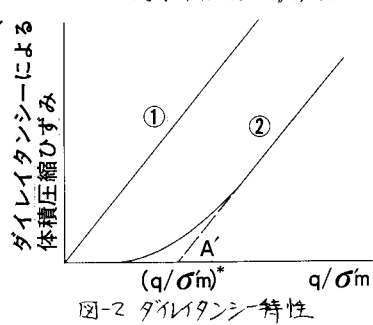


図-2 ダイレイタンシー特性

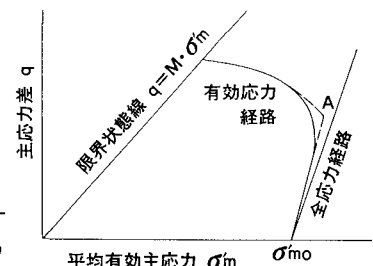


図-3 等方圧密土の応力経路

効応力、間隙水圧を決定する。

a) 体積ひずみ = 等方圧密成分 + ダイレイタンシー成分。b) 連続条件。c) 応力の釣り合の条件。

d) Cam Clay モデルケネルギー式、などである。

### 3. 計算結果：1) 定ひずみ法

実験：使用した物理定数は先の報告<sup>1), 2)</sup>とほぼ同一である。図

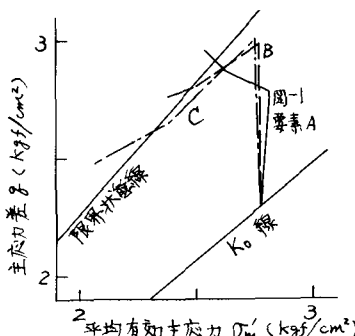


図-5 応力経路の計算値

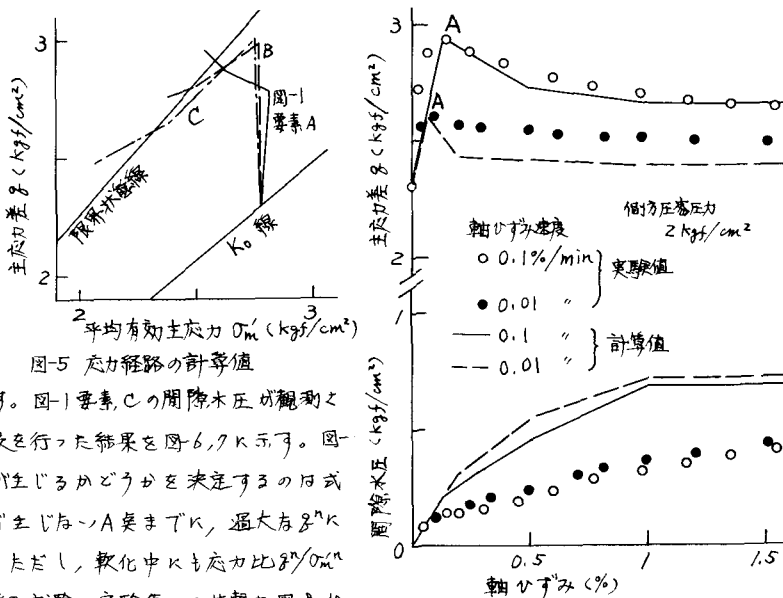


図-6 応力、間隙水圧-ひずみ関係

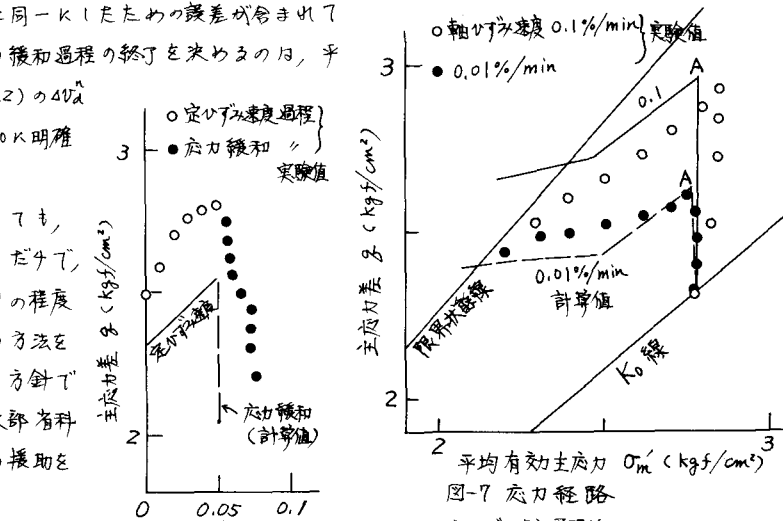


図-7 応力経路

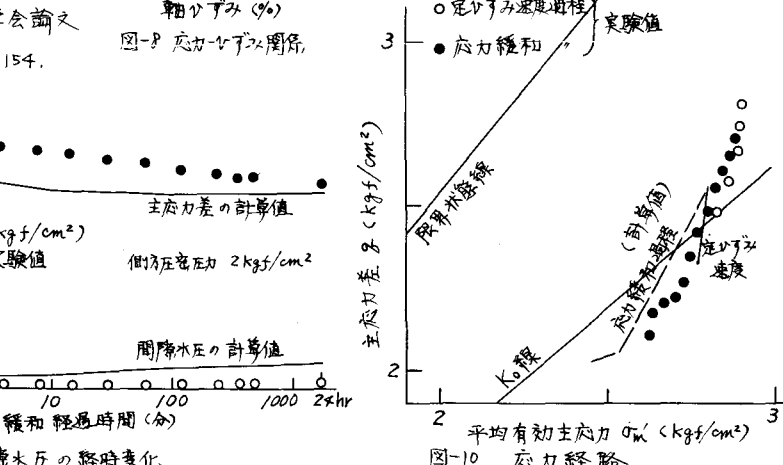


図-8 応力-ひずみ関係



図-9 応力、間隙水圧の経時変化



図-10 応力経路